

東北大学工学部 正員 岩崎敏夫
東北大学大学院 学生員・楊澤民

1.序論 津波や潮汐のような長波の模型実験をむこなう場合には造波水槽の長さが波長に比して短かいため、反射波による干渉をさけるために特殊の工夫が必要となる。そのため自動制御装置を用いることとし、その特性について研究をむこなった。

図1は、この自動制御装置の中の水理系平面図を示す。あらかじめ 500mm ロートバルブがある閑處にして、600mm の軸流ポンプを運轉し、水を低水槽へポンプ～M₁～M₂～低水槽のように循環せしめ、高水槽の水位を一定に保つ。次に 500mm ロートバルブの開度を加減すれば、高水槽へ水を送られて、長波を発生する。ロートバルブの昇降電子油圧式調節器にちて制御する。

図2は、自動制御装置のブロック線図であつて、(a)水理系、(b)電子油圧式調節器部分、(c)高水槽出口で、ここに波高計を設けて、その信号 S をファイードバックして、目標値 D との差をうけすすうにバルブ操作量 C を与えるものである。S は造波水槽に出入する流量であり、G_a(S)、G_c(S)、K(S) は、それぞれ水理系、油圧式調節器、水理系および高水槽出口の伝達関数を示す。本文では G_a(S) について調べた。

2.水理系特性の理論的解析 理論的解析をむこなう際に示した。

入口 S ～ M₁ までを“系I”

M₁ から高水槽出口までを“系II”

M₁ から M₂ までを“系III”

M₂ から 500mm ハイドの出口までを“系IV”

M₂ から 350mm ハイドの出口までを“系V”

とする。

この 5 つの系から、各々の全水頭方程式を“定常流時”および“非定常流時”に分けてたて、さらに連續方程式を用ひて、前後ケタの方程式を得た。これを簡略化、線型化した必要に応じて、微小量を無視し、最後に次のラプラス方程式を得た。

S: 流量の変化量
h: 全水頭の変化量
 $\eta_1 = h_m - h_m$
 $\eta_2 = h_m - h_{m2}$
 $\eta_3 = h_{m2} - h_m$
 $\eta_4 = h_{m2} - h_m$

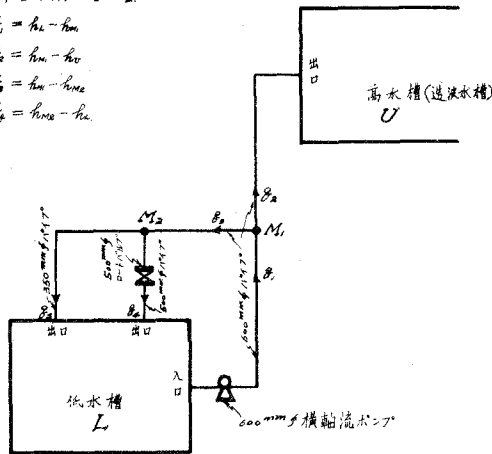
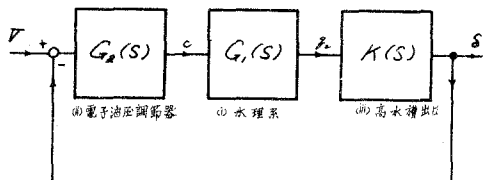


図1 (水理系平面図)



附：“山角伸”法伝達関数

“内”法 加元合せ法

斑美は引き出し法

図2 (全装置ブロック線図)

$$Q_1 + (S + m_1) Q_2 = m_1 Y_1$$

$$(S + m_2) Q_3 = m_2 Y_2$$

$$(S + m_3) Q_4 = m_3 Y_3$$

$$(S + m_4) Q_5 = R C + m_4 Y_4$$

$$(S + m_5) Q_6 = R C + m_5 Y_5$$

$$Q_1 - Q_5 = Q_2 = -A_1 S (Y_1 + Y_2)$$

$$Q_3 = Q_4 + Q_5$$

ここで Q_i, Y_i は各管のラプラス変換値で S は虚数部、また m, n, A_1 及び水理常数である。

以上の変換式を使って、ブロック線図を描けば図 3 のようになる。このブロック線図をさらに変換によって簡略化すれば最後に図 4 のようになる。

結果実験結果と結論 次に実験にあって上述の俁数を求めて、 $G(s)$ の表式式を得た。これを用いてインディシタル応答(図 5)、流量積分曲線(図 6)およびビード線図(ゲイン曲線図)、位相曲線図(図 8 を含めて)を描いた。これらにインディシタル応答の実験を行なった。その結果を図 6 の中に入水して原曲線と比較対照し、また其の微分俁数を図 5 に加えた。これらによると、両者の傾向は大体一致しているが、実験値は一般的に減衰が早かった。

二水で本制御装置のより重要な部分の特性が明らかになったのでさうに $G(s)$ 、および $K(s)$ と一緒に与された総合特性についての研究を進めており講演の折りに発表する。

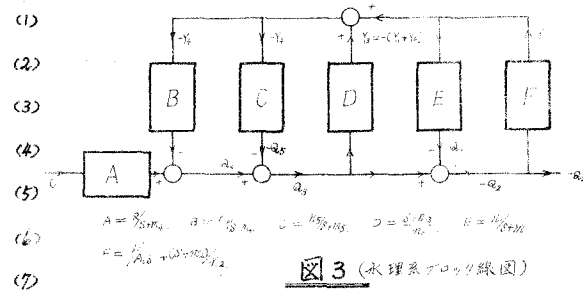


図 3 (水理系ブロック線図)

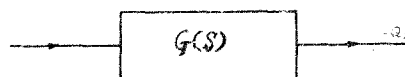


図 4 (上圖を簡略化した)

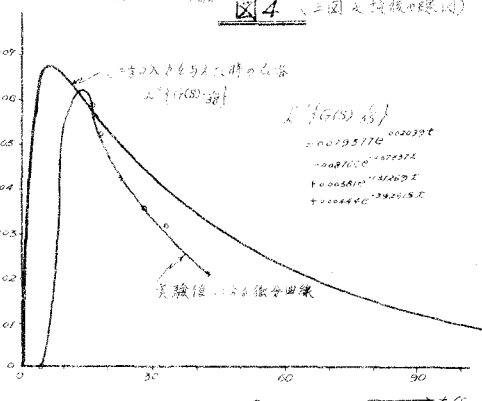


図 5 (計算値と実験値)

二水で本制御装置のより重要な部分の特性が明らかになったのでさうに $G(s)$ 、および $K(s)$ と一緒に与された総合特性についての研究を進めており講演の折りに発表する。

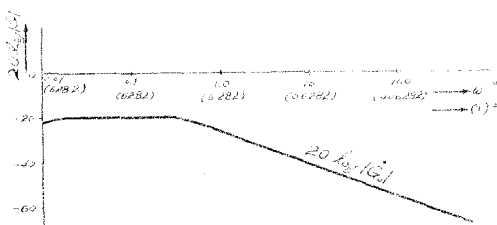


図 7 (ゲイン曲線)

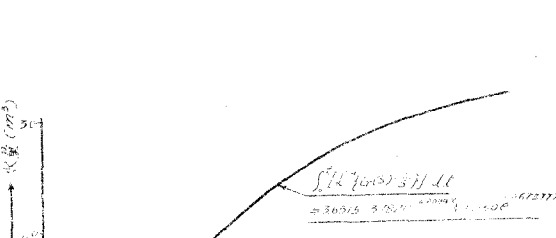


図 6 (積分流曲線)

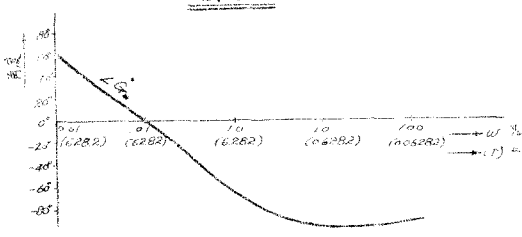


図 8 (位相曲線)